

III-48

深い軟弱粘性土地盤を対象としたブラインド型ケーソンに関する基礎的研究

早稲田大学

正員

森 麟

トピー建設K.K.

角田 安一

○ 早稲田大学大学院 学生員

酒井 俊雄

同 大学院

何 泰源

1. まえがき

軟弱粘性土地盤が厚く、支持層の深い場所にケーソンを沈設する場合、ある深さ以上になるとヒーピング現象が発生し施工不可能になる場合がある。そのためケーソンの沉降深さが大きい場合でもヒーピング防止が可能なブラインド型ケーソンが考案された。本研究では、ブラインド型ケーソンの模型を用いてケーソンの基本的挙動を調査し、現場施工時に必要な問題点を明らかにすることを目的としている。

2. 実験方法について

本研究では透明実験土層箱と縦割り半断面ケーソンを用いた。実験土槽は土被り圧の不足を補うために、土表面に圧気を作用できるようになっている。模型ケーソンはアクリル製の半円筒型であり、ケーソン底部の開口部より流入した土をかきとろようになっている。開口部には取込ロを煙突状に立ち上げて接続している。取込ロは4種類ありTable-1に示す。模型ケーソンには土圧計が2箇所に設置しており、土圧計(1)はケーソン側面にあって土被り圧を、土圧計(2)はケーソンの底版にあってケーソン底面圧 p を測定する。ケーソンの沉降速度は41mm/minとし、取込率の測定は沈下量2cm毎の土量を求め、その深さのケーソンの μ と rH はそれぞれこの2cm間の平均値とした。土圧計(2)は排土が取込ロに留るる土の流入抵抗が増し土圧が上昇するので流入した排土を常にかきとり、排土が取込ロに留らないようにした。実験土槽に用いた土は白色粘土に水を加えて練返したもので、粘着力Cは0.2~0.4t/cm²の範囲とした。

3. 取込土量の支配条件

森研究室において行なったブラインド型シールドの実験から、取込土量はシールド中心深さの地盤の静止側圧 K_0rH とシールド前面に作用する推進時の平均前面圧力 p' との圧力差($K_0rH - p'$)に比例することを明らかにしている。この考えに基づいて今回のケーソンの実験結果を整理したのがFig-1である。Fig-1より取込土量が90~110%の範囲では土量と($rH - p$)が直線的な比例関係にあること、流入させようとする圧力 rH と抵抗する圧力 p が等しい($rH - p = 0$)の場合は取込土量はほぼ100%になること、取込土量が90~110%の範囲外では僅かの圧力差($rH - p$)の変化で土量が急激に変わることがわかる。

Fig-1においてA点は主働破壊の発生点であり、B点は受働破壊の発生点と考えられる。これら主働、受働破壊の発生条件を圧力差($rH - p$)と粘着力Cとの比 $(rH - p)/C$ の大きさで求めたのがTable-2である。主働破壊の条件は取込ロの大きさに関係なく $(rH - p)/C$ の値はほぼ3前後である。受働破壊の条件も取込ロの大きさに関係せず $(rH - p)/C$ の値は5.6前後である。ブラインド型シールドの実験結果では主働、受働破壊とも発生条件は $(rH - p)/C$ が5程度であるので、ケーソンの場合、シールドに比べ主働破壊は生じ易く受働破壊は生じにくいと考えられる。現場においては完全に $(rH - p) = 0$ として取込率を100%にするのは難しいので、主働、受働破壊の生じない($rH - p$)の範囲内におさめるようにすることが重要である。Fig-1のAB直線部の勾配は、破壊の生じない範囲内の圧力差($rH - p$)が1t/cm²のときの土量の変化量、即ち土量変化率 α を示す。いくつかの粘着力Cにおける土量変化率の値をTable-2とFig-2に示す。Fig-2より土量変化率 α は取込ロの開口率 β とは無関係で、粘着力Cに逆比例する。又、同一粘着力のブラインド型シールドの場合の土量変化率に比較して、ケーソンの場合はかなり小さく約半分程度

Table-1: 取込ロの種類

直径 (cm)	開口率 β (%)
6.0	8.00
2.6	1.502
1.2	0.320
0.6	0.0556

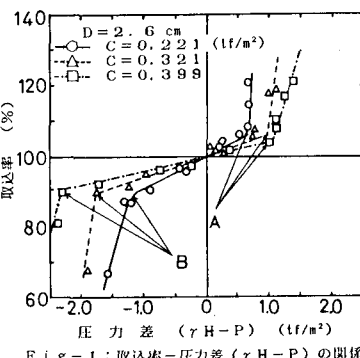
Fig-1: 取込率-圧力差 ($rH - P$) の関係

Table-2

直径 D (cm)	粘着力 C (t/cm ²)	主働破壊点 ($rH - P$)/C	受働破壊点 ($rH - P$)/C	土量変化率 ^a (%/t/cm ²)
0.6	0.243	3.11	5.60	7.49
1.2	0.246	2.88	5.02	8.93
	0.211	3.06	5.52	9.37
2.6	0.321	2.94	5.39	5.86
	0.399	2.56	5.68	4.46
6.0	0.224	3.51	5.90	9.48
	0.310	2.95	5.80	7.23

である。これは土の取込み方向がシールドでは水平方向であるのに對し、ケーランでは鉛直下向きであるためと考えられる。

4. 底面圧力 P の変化について

ブラインド型シールドの場合、シールド前面圧は切羽破壊の生じない範囲では取込土量にかかわらず一定であり、その圧力はシールドへの土の流入抵抗に等しくなっている。しかし、ケーランの場合については、Fig-3のように取込土量100%前後で底面圧 P が大きく変化している。このように P と取込土量の関係がシールドとケーランで大きく違うのは、流入メカニズムの上でかなりの相違があることを意味するものと思われる。又、ケーラン底面圧が変化するため流入抵抗はどの取込土量に当る P をとるべきかが問題となる。この点については今後、調査が必要であるが、ここでは最も理想的な取込土量が100%の時の圧力 P が流入抵抗に相当するものとしている。

5. 開口率と流入抵抗

現場ではブラインド型ケーランを沈降させ場合、地盤の動きを少なくてするため取込土量がなるべく100%付近になるようにケーラン底部の取込口の開口率を適切にコントロールする必要がある。取込土量が100%になる条件、および流入抵抗の式はブラインド型シールドの考え方順ずるものとする。取込土量が100%になる条件は、取込口の深さの土被り圧が流入抵抗に等しいことである。流入抵抗の式はケーランの場合、開口部よりパイア状の立上部の抵抗分を加味して、

$$F = \alpha \cdot C (-6.9 \log_{10} \beta_{100} + \pi/3) + \alpha \cdot C \cdot R \quad \dots \dots (1)$$

ここで、C；ケーラン底面深さの土の粘着力 (tf/m^2)

α ；流入過程における粘着力の有効率で1.0~0.45の間

β ；取込口上端の開口率 (%)

R；取込口立上がり部の抵抗係数

Rは、ここではケーラン底版下面よりとった立上がり部の全周面積を底版下面の開口面積で除した値としている。実験値と理論値(1)の結果をFig-4に示す。Fig-4を見ると、理論値(1)の方が実験値よりやや低めであるが勾配は理論式の方が高い。実験値の傾向がこのまま続くとすれば、現場では粘着力が10倍程度になるので、理論式の方が大きくなると思われる。この理論式については今後、検討の余地がある。

6. 想定現場におけるケーランの沈降深さと開口率

実際の現場では、厚い粘性土地盤は深さと共に粘着力が増加し、今回の実験のように一様な粘着力の地盤ではない。深さと共に α と粘着力の大きくなる地盤にブラインド型ケーランを沈降させる場合、開口率 β はケーランの沈降深さによって変化させる必要がある。このためTable-3のような地盤を想定し、ケーランを沈降させた場合を考え、取込土量が100%になるように各深さにおける取込口の開口率 β を、理論式(1)を用いて求めた。なお、想定したケーランは直徑15mの円形断面とし、立上げ高さ2mの取込口を付けたものとした。Table-3から分るように開口率 β は深さによりかなり変化せることが重要である。

参考文献 1), 2), 3) 森、秋葉；密閉式シールドにおける粘性土切羽地盤と破壊条件と取込土量、トンネルと地下、1984-8

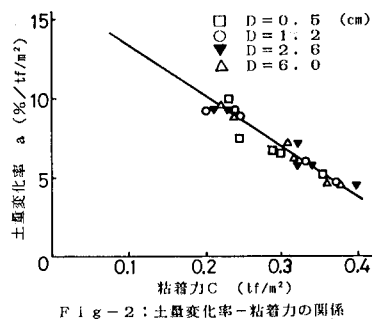


Fig-2: 土量変化率-粘着力の関係

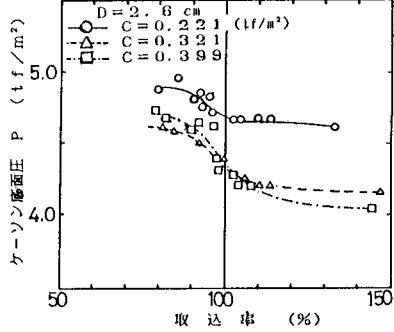
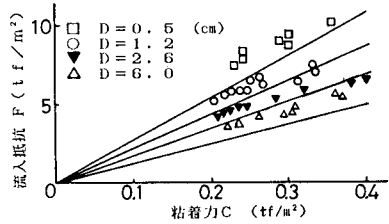
Fig-3: ケーラン底面圧 P -取込率の関係

Fig-4: 流入抵抗-粘着力の関係

Table-3: 想定現場における深さと開口率($\alpha=1.0$)

深さ H (m)	有効粘着力 α (tf/m²)	rH (tf/m²)	理論式(1)	
			直 径 D (m)	開口率 β (%)
1.0	1.8	1.6	4.23	7.93
1.5	2.4	2.4	3.50	6.36
2.0	3.0	3.2	3.10	4.24
2.5	3.6	4.0	2.90	3.63
3.0	4.2	4.8	2.70	3.24
3.5	4.8	5.6	2.60	2.98
4.0	5.4	6.4	2.50	2.79